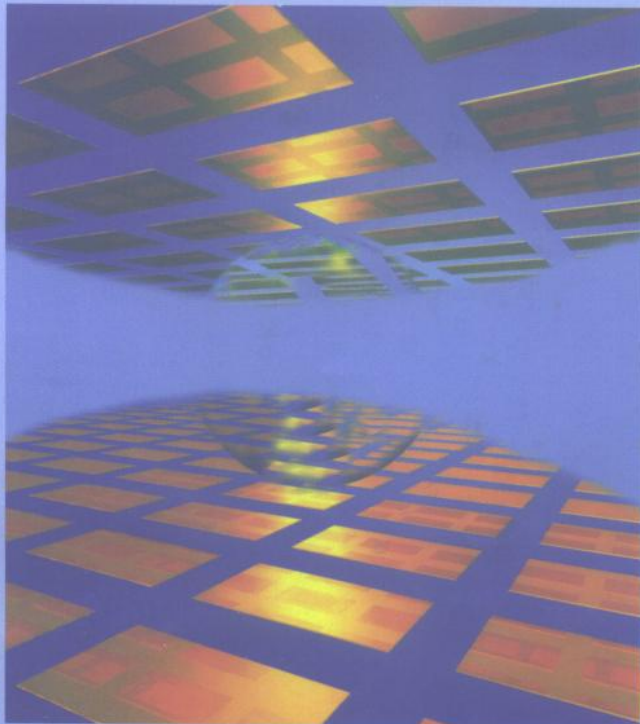


伺服系统原理与设计

(修订版)

胡祐德 马东升 张莉松 编著



北京理工大学出版社

伺服系统原理与设计

(修订版)

胡祐德 马东升 张莉松 编著

北京理工大学出版社

内 容 简 介

本书密切联系工程实际，系统地介绍了各类伺服系统的组成原理和设计方法。该书内容包括伺服系统的测速、测角(位移)、各种信号转换线路，同时修订版增加了SDC、DSC等方面内容和提高系统品质的方法；分析了系统低速不平滑与机械谐振及传动间隙对系统的影响，提供了改进的技术措施；讨论了系统的稳态设计、数学模型的建立及其动态设计方法，介绍了最优传递函数设计方法，以及滑模控制、重复控制技术的应用。

该书适用于自动控制专业本科生、研究生学习。内容叙述力求理论联系实际，深入浅出，各章又配有习题，便于自学。本书对从事自动控制专业的科研和工程技术人员也有参考使用价值。

图书在版编目(CIP)数据

伺服系统原理与设计/胡祐德等著. —北京：北京理工大学出版社，1999. 7

ISBN 7-81013-716-6

I. 伺… II. 胡… III. 伺服系统 IV. TP275

中国版本图书馆 CIP 数据核字 (1999) 第 24121 号

责任印制：王 军 责任校对：陈玉梅

北京理工大学出版社出版发行

(北京市海淀区白石桥路 7 号)

邮政编码 100081 电话(010)68912824

各地新华书店经售

北京国马印刷厂印刷

*

850 毫米×1168 毫米 32 开本 10.875 印张 270 千字

1999 年 7 月第 2 版 1999 年 7 月第 2 次印刷

印数：1—3000 册 定价：15.50 元

※图书印装有误，可随时与我社退换※

修订版说明

《伺服系统原理与设计》是为自动控制专业本科生专业课编著的教材。原书由胡祐德、曾乐生、马东升共同编著，北京工业大学副校长肖春林教授主审，于1993年北京理工大学出版社正式出版，并获第三届全国工科电子类专业优秀教材二等奖。

经过几年教学实践和兄弟院校使用证明：此书对培养学生综合运用控制理论、自动控制元件、电机及电力拖动、电子技术等基础知识；熟练掌握伺服系统的原理及应用；掌握伺服系统设计技术和设计方法，均取得较好的教学效果。

因教学用书需要再版，在广泛听取使用者意见的基础上，考虑到与相邻课程的分工、配合，为适应新的伺服技术的发展，由胡祐德、马东升、张莉松对原书进行修订，保留了原教材最基本的内容，作了部分删节，补充了新的内容。例如增添了伺服系统应用实例一章，适当补充了伺服系统中常见的模拟与数字信号间的转换技术，改写了第四章、第六章和变结构控制等内容，以适应新的教学需要，将全书重新编排成现在的九章。

限于我们的水平与经验的局限，难免还有错误和欠妥之处，敬请大家批评指正。值此修订版出版之际，感谢肖春林教授再次为我们审稿并提出宝贵意见，感谢北京理工大学自动控制系统教研室同志们的支持帮助。

编 者

1998 年 8 月

目 录

第一章 概 论

1-1 发展简况	(1)
1-2 伺服系统的组成原理及其基本特征	(2)

第二章 伺服系统的测速与测角 (位移)

2-1 概 述	(7)
2-2 角速度的检测	(7)
1. 测速发电机.....	(8)
2. 测速电桥.....	(10)
3. 光电测速盘.....	(12)
4. 速率陀螺.....	(13)
2-3 用典型元件测角 (位移)	(14)
1. 电位计.....	(14)
2. 差动变压器和微同步器.....	(16)
3. 自整角机与旋转变压器.....	(17)
4. 感应同步器.....	(19)
5. 三自由度陀螺.....	(20)
2-4 双通道测角线路	(21)
2-5 扫描测量	(24)
1. 圆锥扫描.....	(24)
2. 扇形扫描.....	(28)
2-6 脉冲比较测角(位移)	(30)
习 题	(33)

第三章 伺服系统的信号转换电路

3-1 伺服系统中常见的信号转换电路的类型	(35)
3-2 相敏整流线路	(36)

1. 开关式相敏整流线路	(37)
2. 用模拟乘法器作相敏解调器	(41)
3. 相敏整流集成芯片	(41)
3 - 3 振幅调制线路	(43)
1. 开关式振幅调制线路	(43)
2. 用模拟乘法器作振幅调制器	(45)
3. 振幅调制集成芯片	(45)
3 - 4 相位调制线路	(46)
3 - 5 脉冲宽度调制(PWM)线路	(46)
3 - 6 电压—频率转换(V/F)电路	(49)
3 - 7 频率—电压转换(F/V)电路	(50)
3 - 8 数字—自整角机/旋转变压器转换(DSC/DRC)	(54)
1. 数字—自整角机转换器	(54)
2. 数字—旋转变压器转换器	(57)
3 - 9 自整角机/旋转变压器—数字转换器(SDC - RDC)	(58)
1. 自整角机—数字转换器	(58)
2. 旋转变压器—数字转换器	(63)
习 题	(64)

第四章 伺服系统的特性及提高系统品质的方法

4 - 1 系统品质与系统特性	(65)
1. 系统特性与稳态精度的关系	(66)
2. 系统特性与其过渡过程品质的关系	(68)
4 - 2 常用的线性补偿	(71)
1. 串联补偿	(71)
2. 顺馈补偿	(74)
3. 负反馈补偿	(76)
4. 正反馈补偿的应用	(83)
4 - 3 复合控制与扰动间接测量补偿技术	(84)
1. 扰动补偿的不变性原理	(84)
2. 复合控制伺服系统	(89)
3. 复合控制双传动伺服系统	(92)

4.	模型跟踪控制系统	(95)
5.	扰动的间接测量补偿技术	(97)
4 - 4	非线性补偿技术在伺服系统中的应用	(102)
1.	采用非线性速度阻尼的系统	(102)
2.	采用非线性积分器和非线性 PI 调节器	(105)
3.	采用双模或多模控制技术	(106)
4 - 5	干摩擦对系统的影响及其改善	(107)
1.	干摩擦造成系统低速不平滑	(108)
2.	减小低速“跳动”的措施	(111)
4 - 6	机械谐振对系统的影响及其补偿	(116)
1.	传动轴弹性变形造成的机械谐振	(117)
2.	消除或补偿机械谐振影响的措施	(120)
4 - 7	传动间隙对系统的影响及其补偿	(124)
1.	传动间隙对系统性能的影响	(126)
2.	消除或补偿传动间隙对系统的影响	(127)
	习 题	(132)

第五章 系统的稳态设计

5 - 1	设计概述	(135)
5 - 2	负载的分析计算	(138)
1.	几种典型负载	(138)
2.	负载的折算	(140)
3.	负载的综合计算	(143)
5 - 3	执行元件的选择	(148)
1.	单轴传动的电机选择	(148)
2.	一般高速执行电机的选择	(153)
5 - 4	检测装置、信号转换线路、放大装置及电源线路等的设计与选择	(161)
1.	检测装置的选择与设计	(161)
2.	信号选择电路的设计	(166)
3.	放大装置的设计	(168)
4.	电源设备等装置的设计	(169)

5 - 5	信号转换及相关接口的设计	(170)
1.	RDC 相关接口电路设计	(170)
2.	DRC 相关接口电路设计	(178)
5 - 6	利用铭牌数据和经验公式推导系统的传递函数	(179)
1.	直流随动系统的传递函数推导	(179)
2.	采用两相异步机的交流随动系统传递函数推导	(184)
3.	采用三相电动机的交流随动系统传递函数的推导	(186)
习 题	(188)

第六章 设计补偿装置的对数频率法

6 - 1	引 言	(190)
6 - 2	希望特性的绘制	(191)
6 - 3	补偿装置的设计	(198)
1.	串联补偿装置的设计	(198)
2.	负反馈补偿的设计	(200)
6 - 4	考虑降低灵敏度的设计	(204)
6 - 5	复合控制系统的设计	(208)
1.	利用串入 PI 调节器的设计	(211)
2.	利用间接测量输入的补偿设计	(213)
6 - 6	交流载频系统中对信号传递的要求	(214)
1.	零相角条件的表达式	(216)
2.	等效传递函数	(219)
6 - 7	交流载频系统补偿装置的设计	(223)
1.	“谐振”补偿电路的设计计算	(223)
2.	“开关”补偿电路的设计	(234)
习 题	(236)

第七章 最优传递函数设计方法

7 - 1	引 言	(239)
7 - 2	最优传递函数	(240)
1.	目标函数为 J_1 时的最优传递函数	(240)

2. ITAE 最优传递函数	(248)
7-3 状态反馈的设计	(251)
1. 全状态反馈的设计	(251)
2. I型系统的设计问题	(254)
3. 部分状态反馈的设计	(258)
7-4 输出反馈补偿设计及其它	(264)
习题	(269)

第八章 伺服系统举例

8-1 火炮方位伺服系统	(270)
8-2 锁相可逆调速系统	(275)
8-3 VCD 放像机的伺服系统	(282)
1. 主轴伺服系统与切向伺服系统	(284)
2. 高低伺服系统与聚焦伺服系统	(287)
3. 进给伺服系统与循迹伺服系统	(288)
4. 倾斜伺服系统	(290)
8-4 应用于飞行试验仿真系统中的交流伺服系统	(293)
1. 伺服电机、驱动装置及位置检测	(294)
2. 数字控制器及相关电路	(296)
3. 伺服系统的控制程序	(304)
4. 伺服系统的保护	(306)

第九章 滑模控制与重复控制在伺服系统中的应用

9-1 伺服系统的滑模控制	(307)
1. 二阶系统开关控制举例	(307)
2. 滑动模态	(310)
3. 伺服系统滑模控制设计	(313)
9-2 重复控制原理及其应用	(319)
1. 重复控制原理	(319)
2. 重复控制系统的稳定性	(324)
3. 重复控制系统的.设计方法	(326)

主要参考文献	(329)
附录一 常用补偿电路及其特性	(332)
附录二 常用有源补偿电路及其特性	(334)
附录三 常用 Laplace 变换表	(337)

第一章 概 论

1-1 发展简况

伺服系统是自动控制系统中的一类。它是伴随电的应用而发展起来的，最早出现于本世纪初。1934年第一次提出了伺服机构(Servomechanism)这个词，随着自动控制理论的发展，到本世纪中期，伺服系统的理论与实践均趋于成熟，并得到广泛应用。近几十年来在新技术革命的推动下，特别是伴随着微电子技术和计算机技术的飞速进步，伺服技术更是如虎添翼突飞猛进。它的应用几乎遍及社会的各个领域。下面简单的列举几例，便可略窥一斑。

伺服系统在机械制造行业中用得最多最广，各种机床运动部分的速度控制、运动轨迹控制、位置控制，都是依靠各种伺服系统控制的。它们不仅能完成转动控制、直线运动控制，而且能依靠多套伺服系统的配合，完成复杂的空间曲线运动的控制，如仿型机床的控制、机器人手臂关节的运动控制等等。它们可以完成的运动控制精度高、速度快、远非一般人工操作所能达到。

在冶金工业中，电弧炼钢炉、粉末冶金炉等的电极位置控制，水平连铸机的拉坯运动控制，轧钢机轧辊压下运动的位置控制等等，都依靠伺服系统来实现，这些更是无法用人工操作所能代替的。

在运输行业中，电气机车的自动调速、高层建筑中电梯的升降控制、船舶的自动操舵、飞机的自动驾驶……，都由各种伺服系统为之效力，从而减缓操作人员的疲劳，也大大提高了工作效率。

在军事上，伺服系统用得更为普遍，雷达天线的自动瞄准跟

踪控制、高射炮、战术导弹发射架的瞄准运动控制、坦克炮塔的防摇稳定控制、防空导弹的制导控制、鱼雷的自动控制等等，真是不胜枚举。

在计算机外围设备中，也采用了不少伺服系统，如自动绘图仪的画笔控制系统、磁盘驱动系统等等。

如今我国已成为世界上少有的几个能生产激光电视放像系统的国家，用激光将信息录制在光盘上，一圈信息在电视机上构成一幅画面，放像过程是用很细的激光束沿信息道读取信息，各信息道之间的间隔已达 μm 级，因此控制激光束的位置伺服系统也具有相应的控制精度，以保证获取清晰稳定的画面。这种具有高精度伺服系统的激光电视放像机，已开始进入我国人民的家庭生活。

伺服系统的应用越来越广泛，大至控制上吨重的巨型雷达天线，可及时准确地跟踪人造卫星的发射，小至用音圈电机来控制电视放像机的激光头，从国防、工业生产、交通运输到家庭生活，而且必将发展应用到更新的领域。

1 - 2 伺服系统的组成原理及其基本特征

什么是伺服系统？伺服系统是用来控制被控对象的某种状态，使其能自动地、连续地、精确地复现输入信号的变化规律，通常是闭环控制系统。

伺服系统的种类很多，组成状况和工作状况也是多种多样，可简单的用图 1 - 1 方块图来表示它的组成。它有检测装置，用来检测输入信号和系统的输出，有放大装置和执行部件，为使各部件之间有效地组配和使系统具有良好的工作品质，一般还有信号转换线路和补偿装置。这仅指信息在系统中传递所必经的各个部分。此外，以上各部分都离不开相应的能源设备、相应的保护装置、控制设备和其它辅助设备。

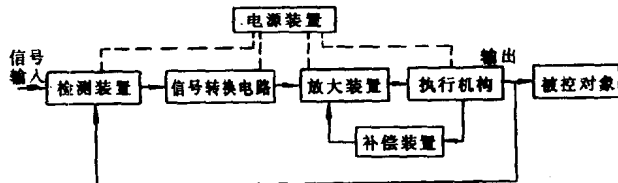


图 1-1 伺服系统方块图

伺服系统的输出可以是各种不同的物理量，本书将结合机械运动控制中的问题进行讨论，如速度(包括角速度)控制、位置(包括转角)控制和运动轨迹控制，讨论各种速度伺服系统和位置伺服系统(亦称随动系统)的原理与设计问题。

从系统组成元件的性质看，有电气伺服系统，它的全部元器件由电气元件组成；有全部由液压元件组成的液压伺服系统；有不少两者相结合的电气-液压伺服系统、电气-气动伺服系统，因限于篇幅，本教材主要列举电气伺服系统的线路为例，但所讨论的原理和设计方法仍具有一般性。

从控制方式看，伺服系统不包括单纯的开环控制，而具有以下两种类型(见图 1-2)：

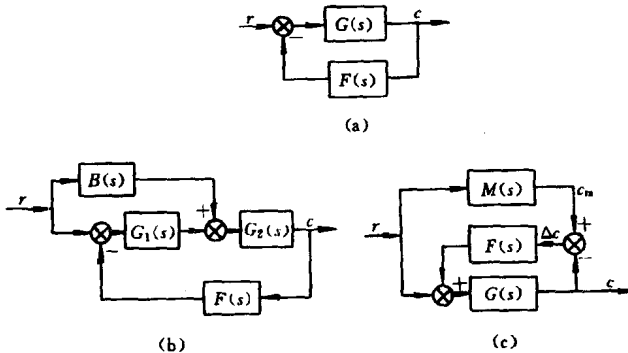


图 1-2 伺服系统的基本控制方式举例

第一种是按误差控制的系统(图1-2(a)),它由前向通道 $G(s)$ 和负反馈通道 $F(s)$ 构成,亦称闭环控制系统。系统的开环传递函数和闭环传递函数分别为

$$W(s) = G(s)F(s) \quad (1-1)$$

$$\phi(s) = \frac{G(s)}{1 + G(s)F(s)} \quad (1-2)$$

将系统输出速度 V_c (或角速度 Ω_c)转变成电压信号 U_f 反馈到系统输入端,用输入信号 U_r 与 U_f 的差

$$U_r - U_f = \Delta U \quad (1-3)$$

来控制系统,即构成速度伺服系统,通常系统主反馈通道的传递函数是个常系数,即

$$F(s) = f \quad (1-4)$$

根据系统的线路和它的工作特点,有单向调速系统、可逆(即双向)调速系统和稳速系统等区别。

将系统输出转角 φ_c (或位移 L_c)反馈到系统主通道的输入端,同输入角 φ_r (或位移 L_r)的差 e 即

$$e = \varphi_r - \varphi_c \quad (1-5)$$

来控制系统,即构成位置伺服系统(随动系统)。它的主反馈通道传递函数通常是

$$F(s) = 1 \quad (1-6)$$

即所谓单位反馈,位置伺服系统通常都是可逆运转的。它的开环传递函数与闭环传递函数之间有以下简单关系

$$\phi(s) = \frac{W(s)}{1 + W(s)} \quad (1-7)$$

按误差控制的系统历史最长,应用也最广。要使系统输出精确地复现输入,系统的动态响应品质和系统稳态精度存在矛盾,这是设计这类系统需要认真解决的问题。

第二种是按误差和扰动复合控制的系统,采用负反馈与前馈

相结合的控制方式，亦称开环-闭环控制系统，见图 1-2(b)所示形式。其系统传递函数为

$$\phi(s) = \frac{[B(s) + G_1(s)]G_2(s)}{1 + G_1(s)G_2(s)F(s)} \quad (1-8)$$

式中 $B(s)$ 代表前馈通道的传递函数。

无论是速度伺服系统，还是位置伺服系统，都可以采用复合控制形式，它的最大优点是引入前馈 $B(s)$ 后，能有效地提高系统的精度和快速响应，而不影响系统闭环部分的稳定性，详见本书第四章的讨论。

图 1-2(c)表示的系统，称为模型跟踪控制系统，除具有前向主控制通道外，还有一条与它并行的模型通道 $M(s)$ ，它通常用电子线路(或用计算机软件)来实现，将两者输出的差

$$\Delta c = c_m - c$$

作为主反馈信号，通过 $F(s)$ 反馈到主通道的输入端，要求系统的实际输出 c 跟随模型的输出 c_m ，与复合控制系统类似，该系统(图 1-2(c))的传递函数可表示成

$$\phi(s) = \frac{[1 + M(s)F(s)]G(s)}{1 + G(s)F(s)} \quad (1-9)$$

适当选取模型通道的传递函数 $M(s)$ 和反馈通道的传递函数 $F(s)$ ，可以使系统获得较高的精度和良好的动态品质。它可以看成是由复合控制演变而成的，故仍属于相同的一类。

模型跟踪控制用于速度伺服系统比较方便，在位置伺服系统中只宜于将它用于速度环的控制。

伺服系统的特性有线性的和非线性的，实际系统严格说都是非线性的，但不少系统可以建立近似的线性数学模型，用线性控制理论进行分析与设计，这是控制系统设计最基本的内容，为此，本书主要介绍线性系统的设计，对非线性系统的设计问题，只有很少的一点介绍。

本书是一门专业课程的教材，必须考虑相关课程之间的分工

与联系，没有过多重复，如伺服系统的计算机控制技术，留给“计算机控制系统”课介绍；工程设计是具体的，不允许含糊，因此用了一定的篇幅补上必不可少的遗漏。在这有限的篇幅里，把伺服系统最基本的问题和设计方法均作了阐明。

第二章 伺服系统的测速与测角(位移)

2-1 概 述

本书只介绍速度和位置伺服系统。系统的控制精度是最重要的技术指标之一，一套伺服系统的控制精度，受多方面因素的影响，但其中十分关键的是检测装置的精度(分辨率)。现代科学技术的发展，对高精度伺服系统的运用越来越多。例如高精度锁相调速系统，要求测速误差 $<10^{-6}$ ，而一般测速发电机测速误差却在2%~0.02%范围。用于跟踪卫星的雷达天线伺服系统，它的跟踪误差必须 $<1'$ 。观测天体的射电望远镜，要求伺服系统的误差 $<0.05'$ 。开始进入家庭的电视激光放像机，激光针头的径向运动要伺服系统来控制，该系统的位置误差 $\leq 1 \mu\text{m}$ 。以上几例均说明伺服系统的精度是较高的，而它们所采用的检测装置的精度将更高。首先，系统中的检测装置对误差能分辨，并提供出有效的信号，然后才谈得上对系统进行控制。因此，检测装置的高精度，是实现高精度伺服系统的前提。

然而，各种用途的伺服系统是五花八门的，它们对精度的要求也很不一致，正因为如此，在伺服系统中采用的检测装置其类型十分繁杂，本章只就常见的模拟式测速和测角(位移)装置，作一简要说明。

2-2 角速度的检测

在速度伺服系统中，系统的输出端必需有检测角速度的装置，在位置伺服系统中，也常需要它获得速度阻尼信号。因此在伺服系统中被广泛采用。用得最多的是各种测速发电机，比较简易的